

FIG. I

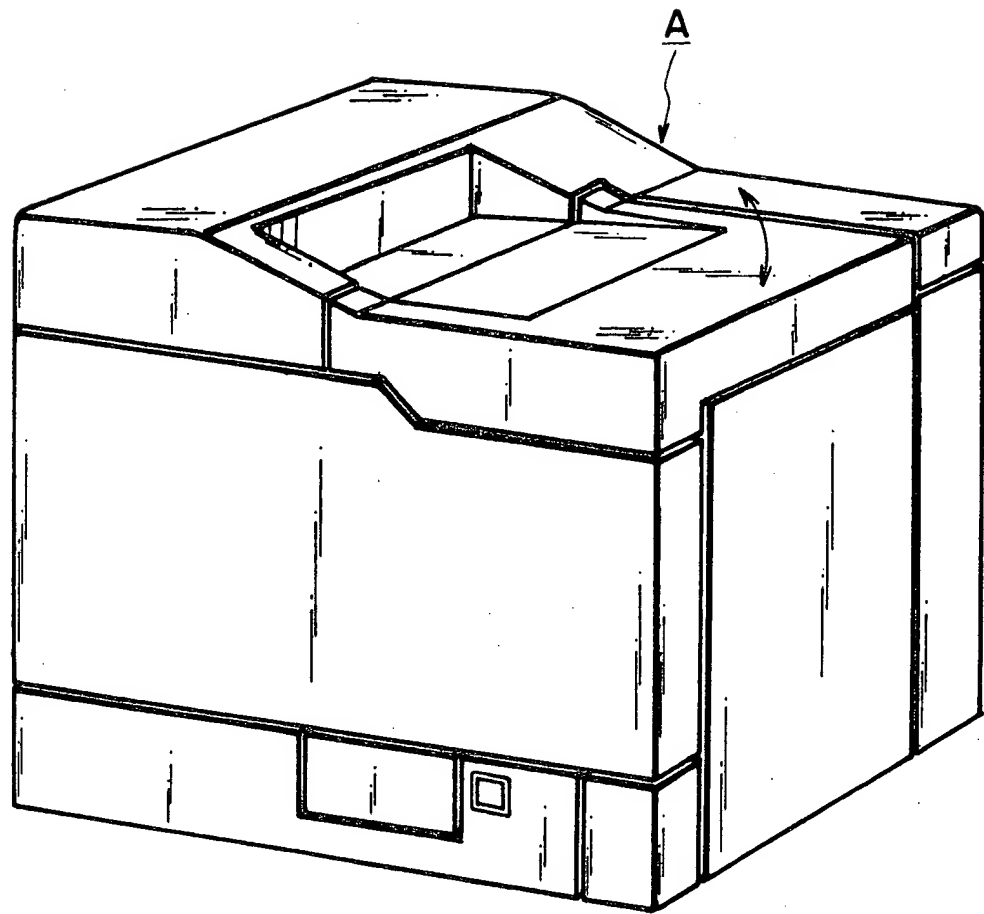
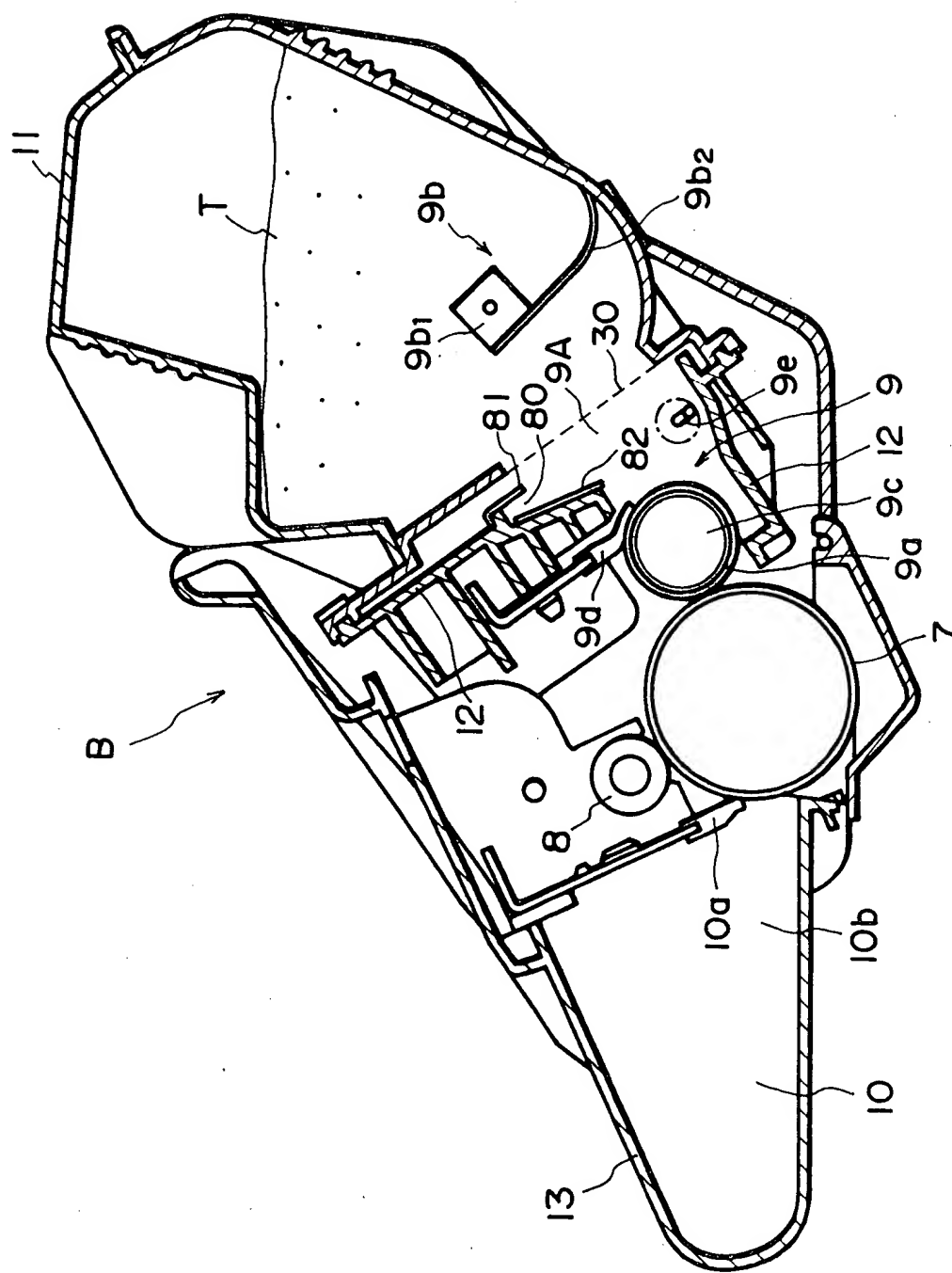


FIG. 2

00825434 040504



三
五
上

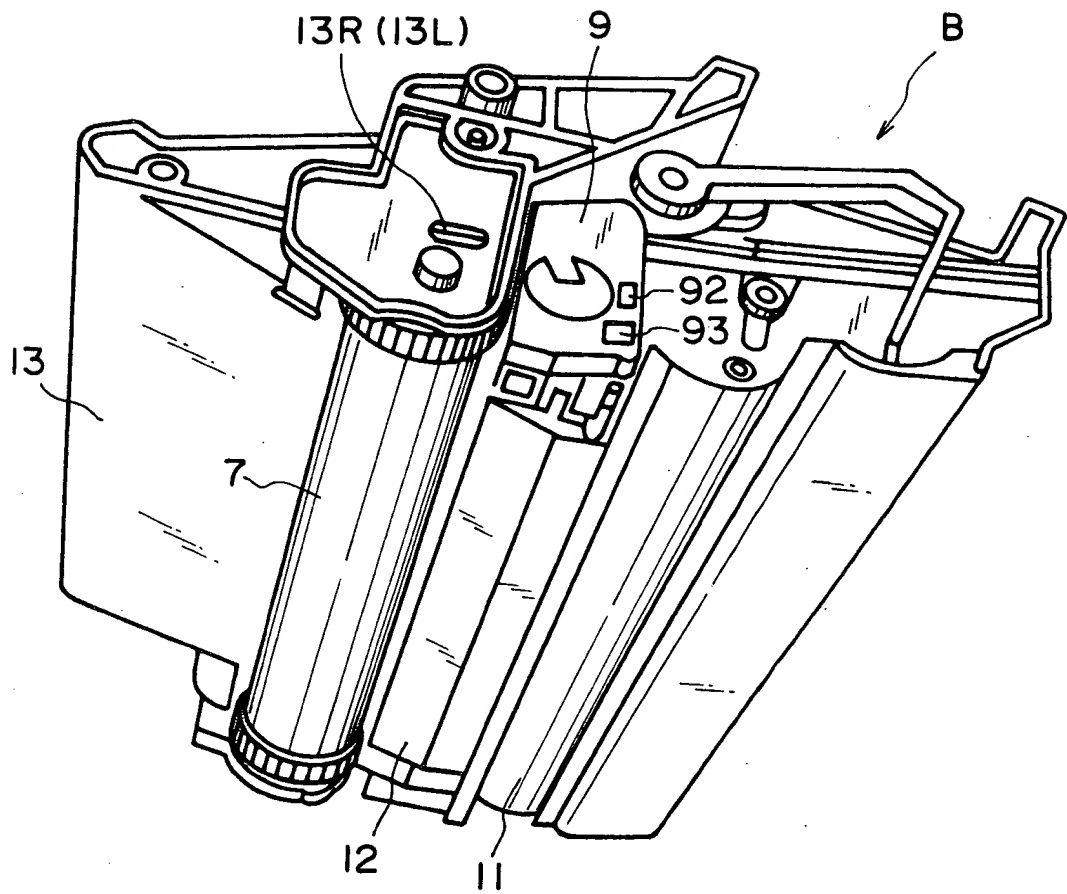


FIG. 4

09826134 0443501

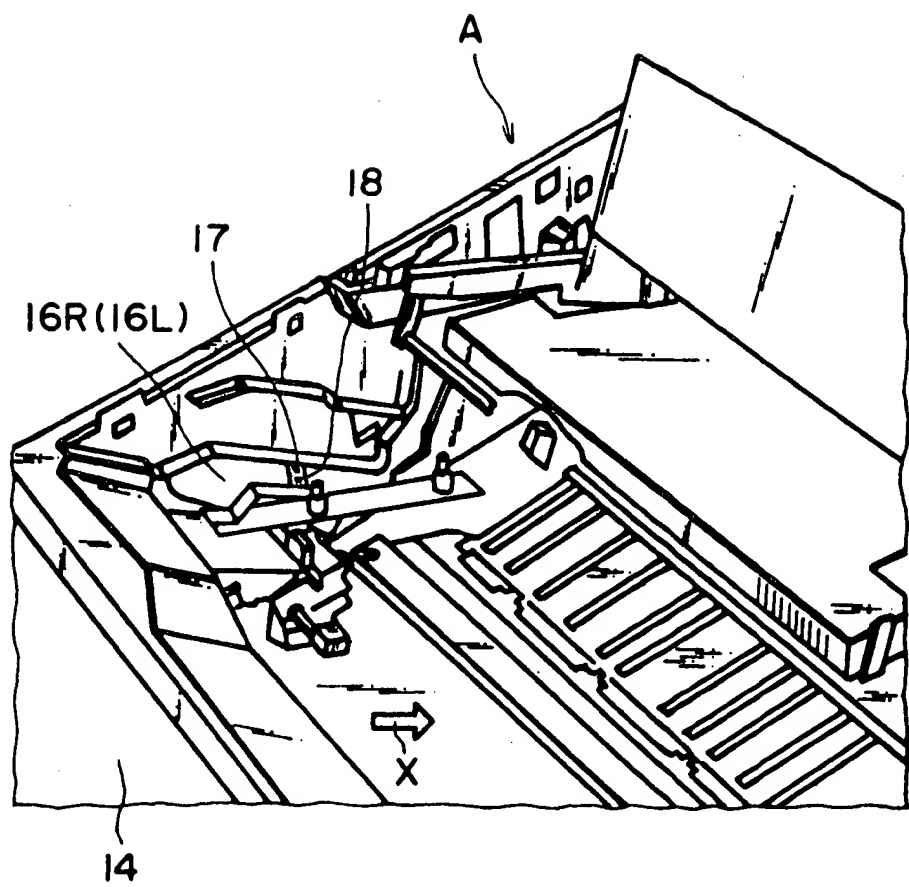


FIG. 5

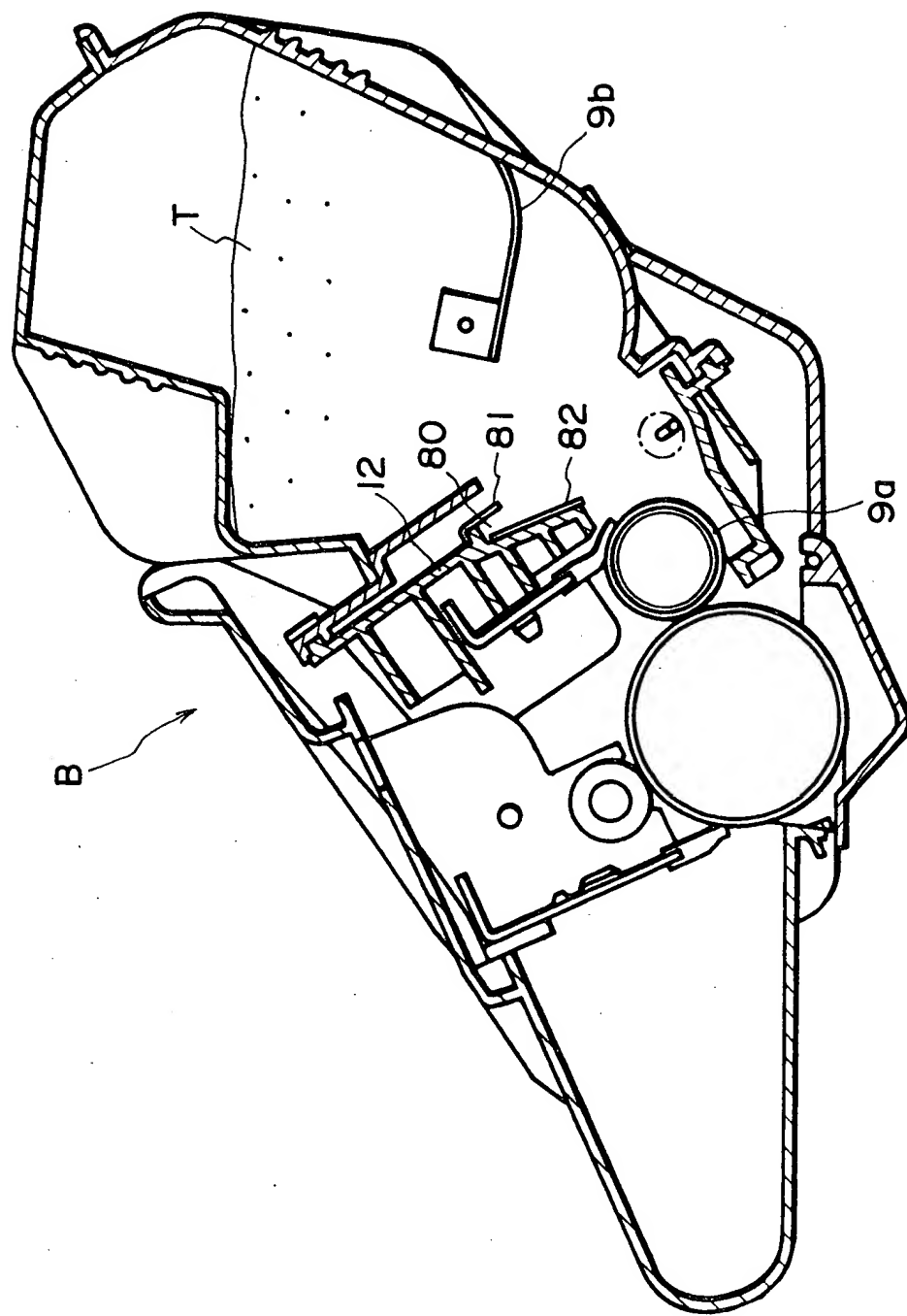


FIG. 6

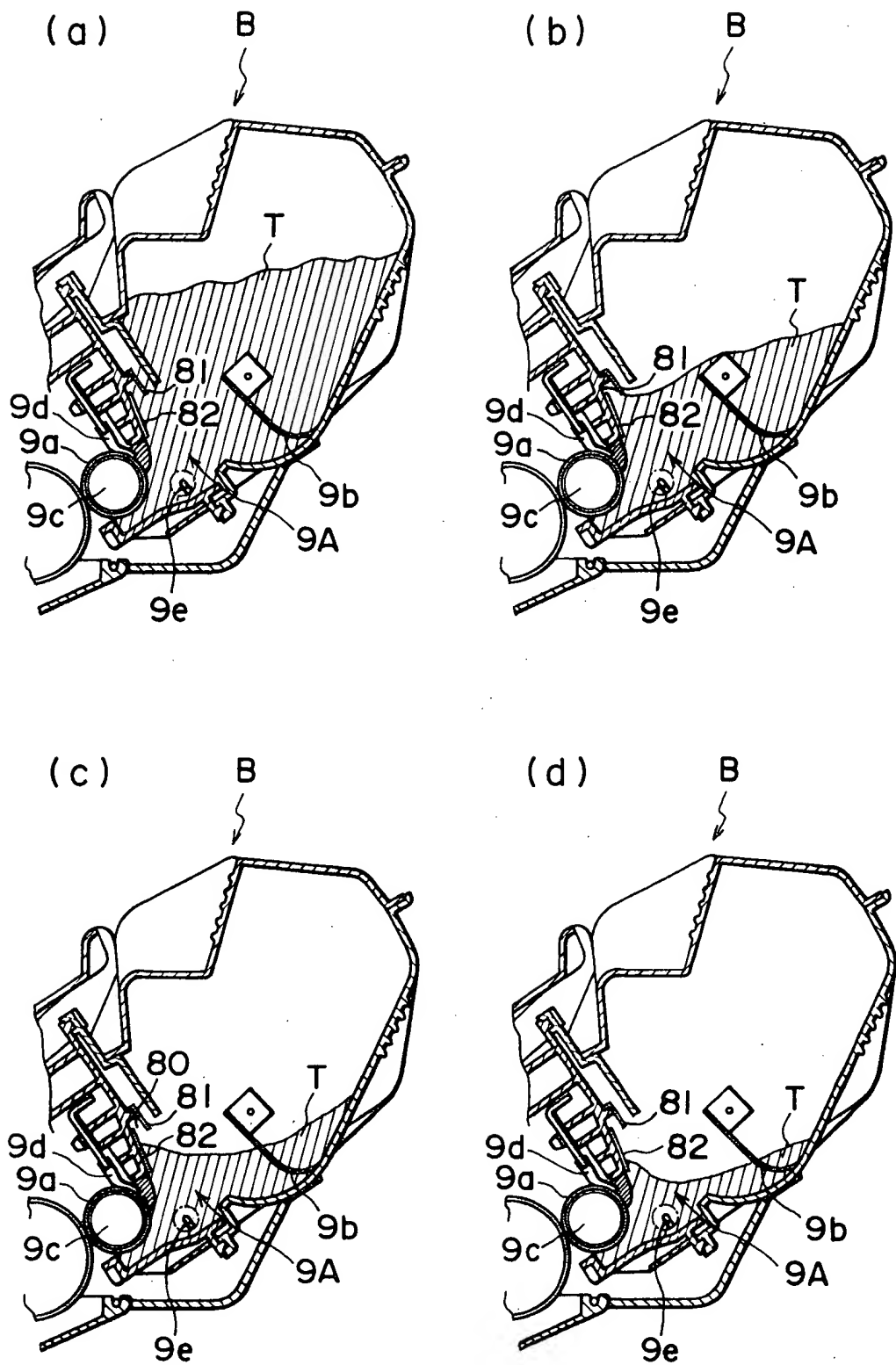
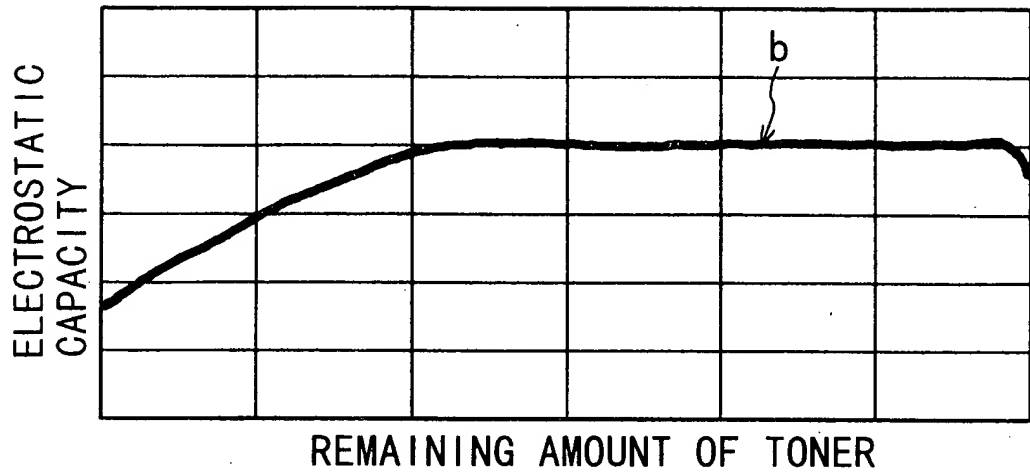
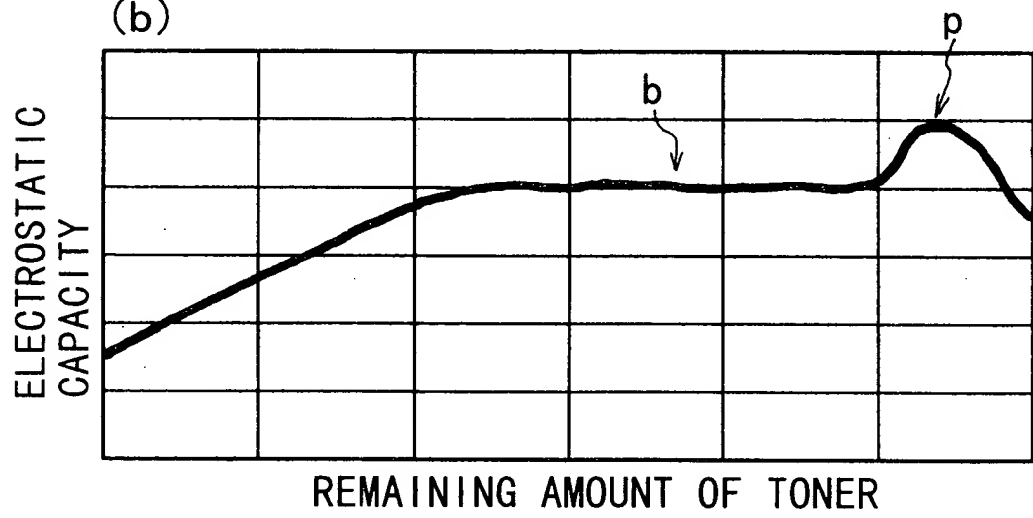


FIG. 7

(a)



(b)



(c)

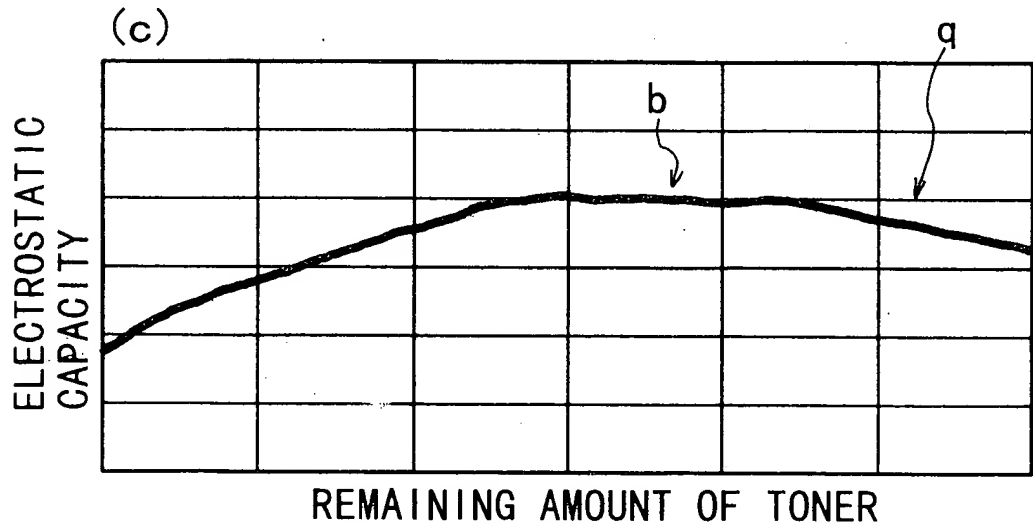


FIG. 8

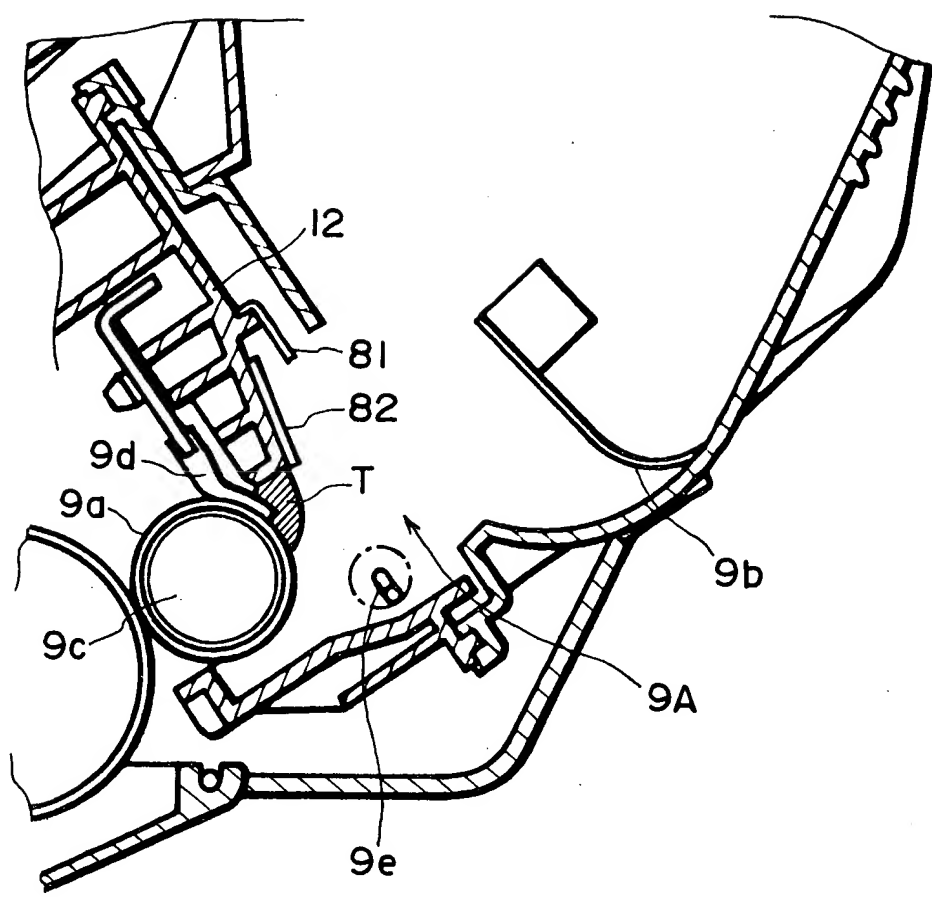


FIG. 9

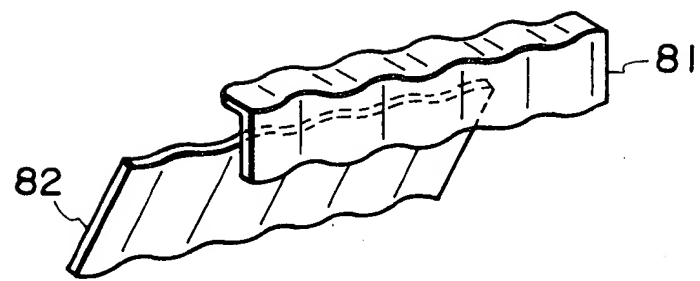


FIG. 10

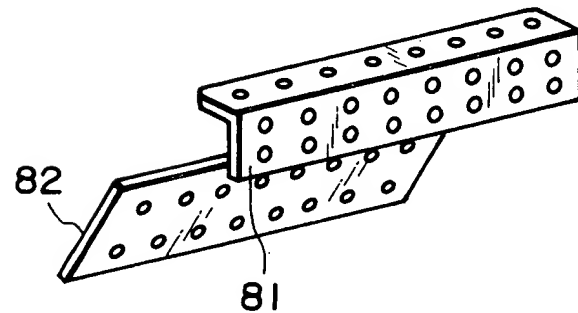
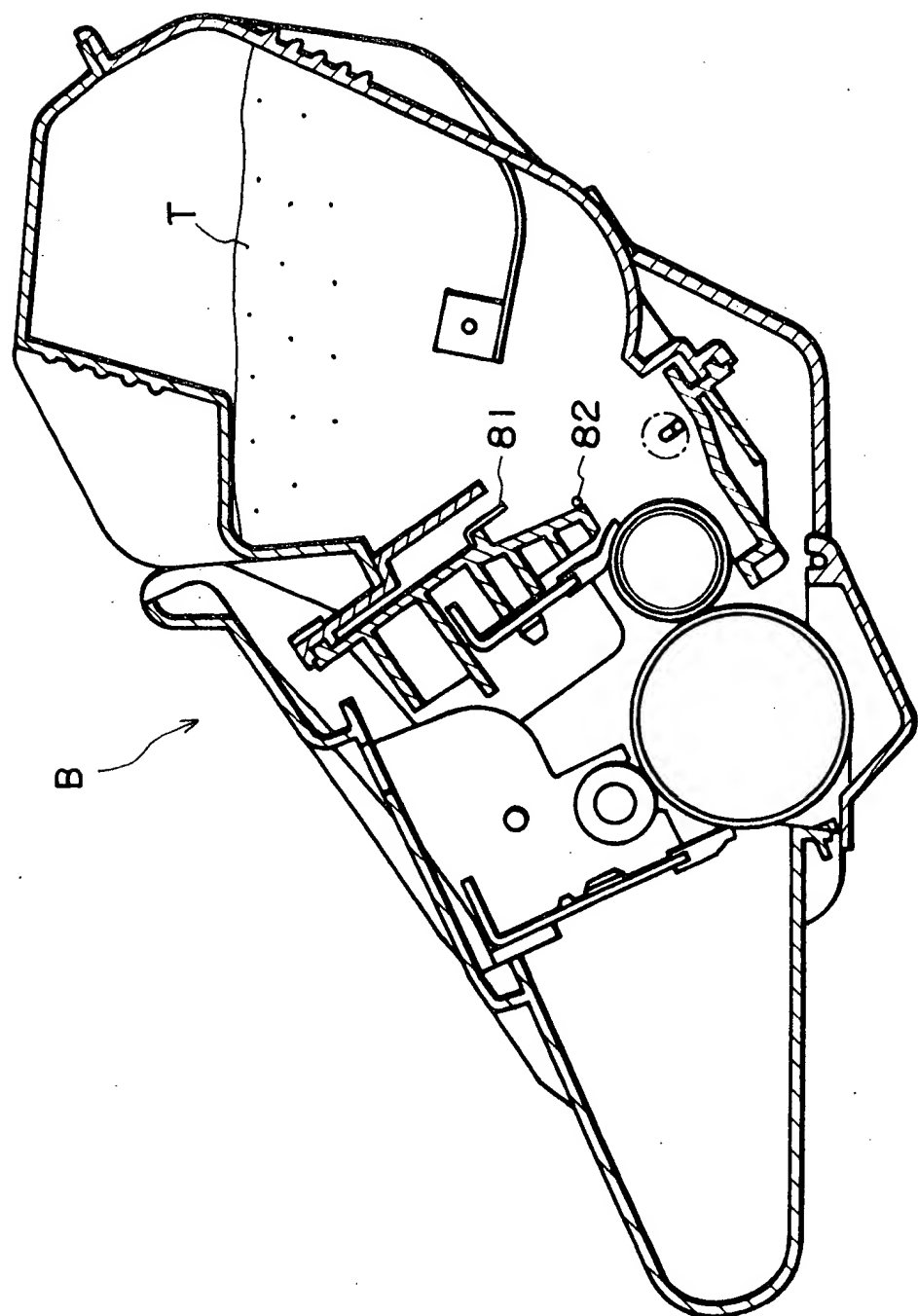


FIG. 11

FIG. 12



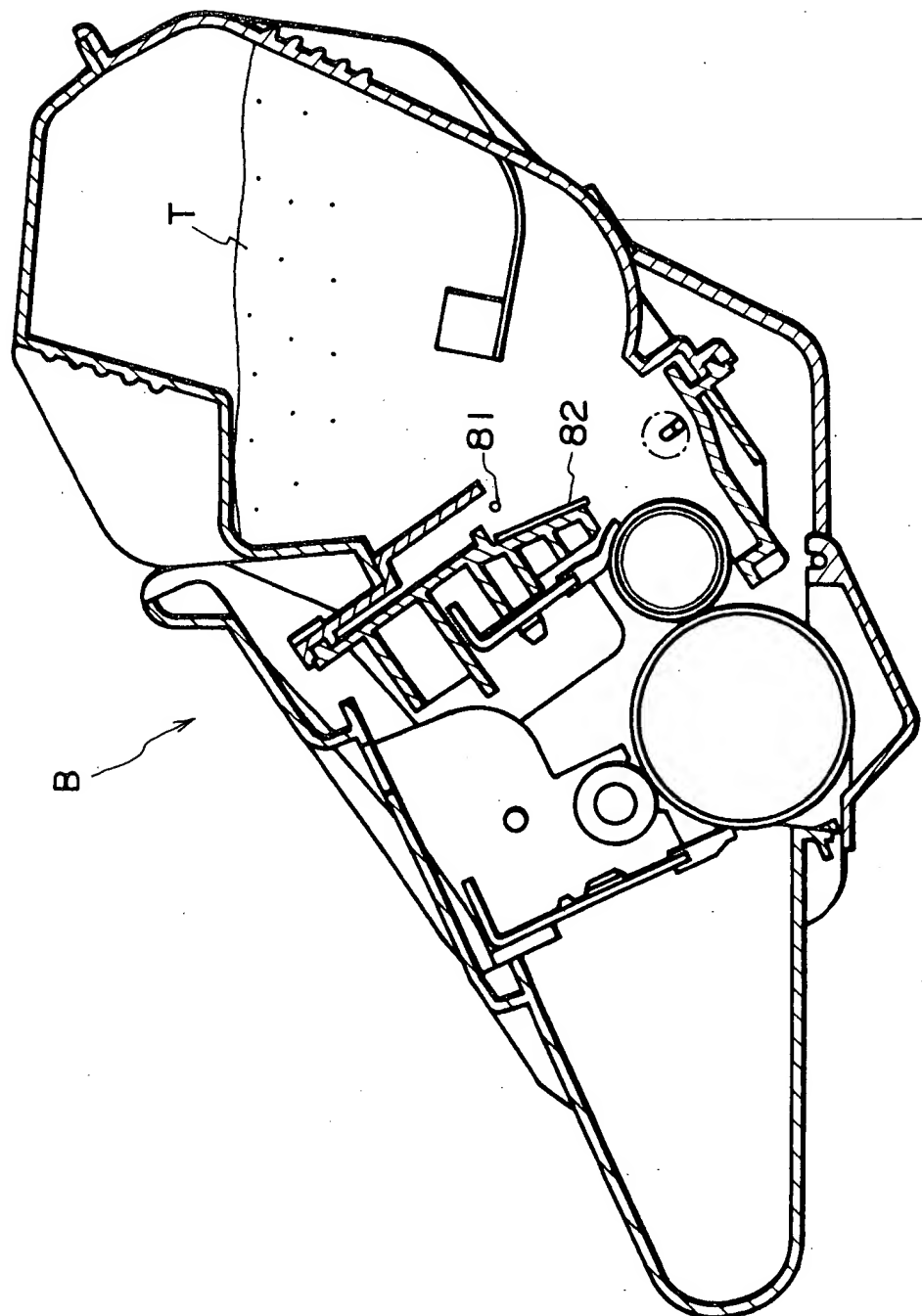
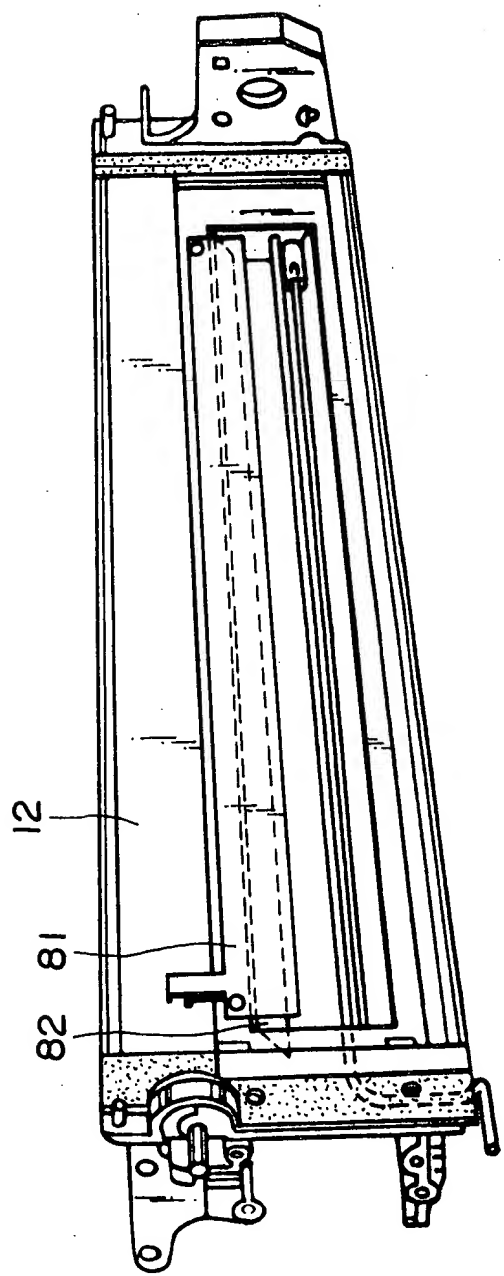


FIG. 13

FIG. 14



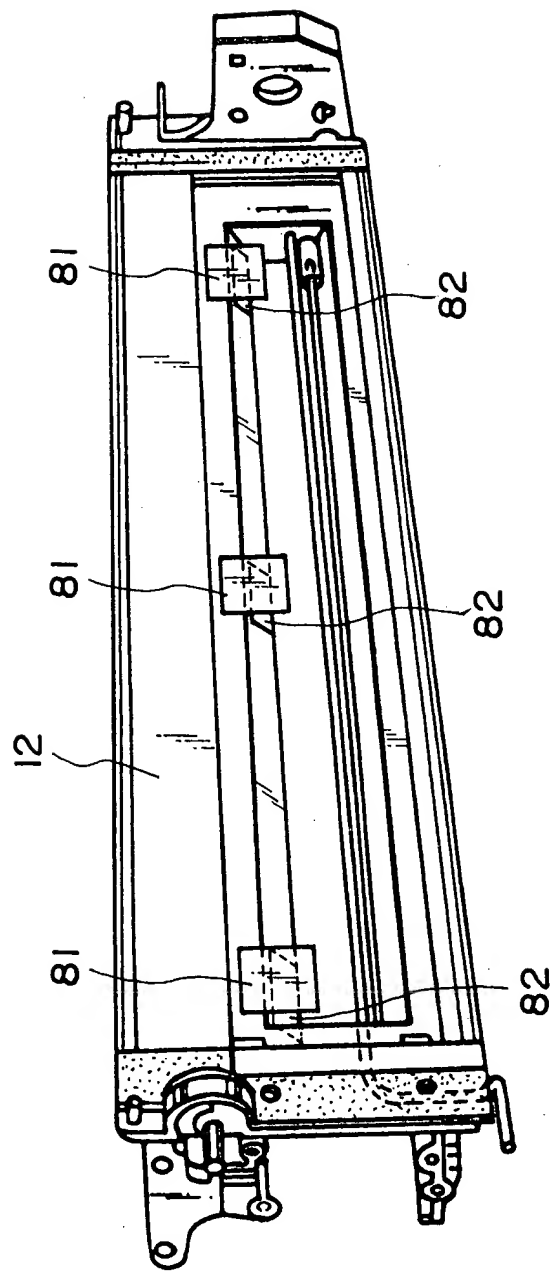


FIG. 15

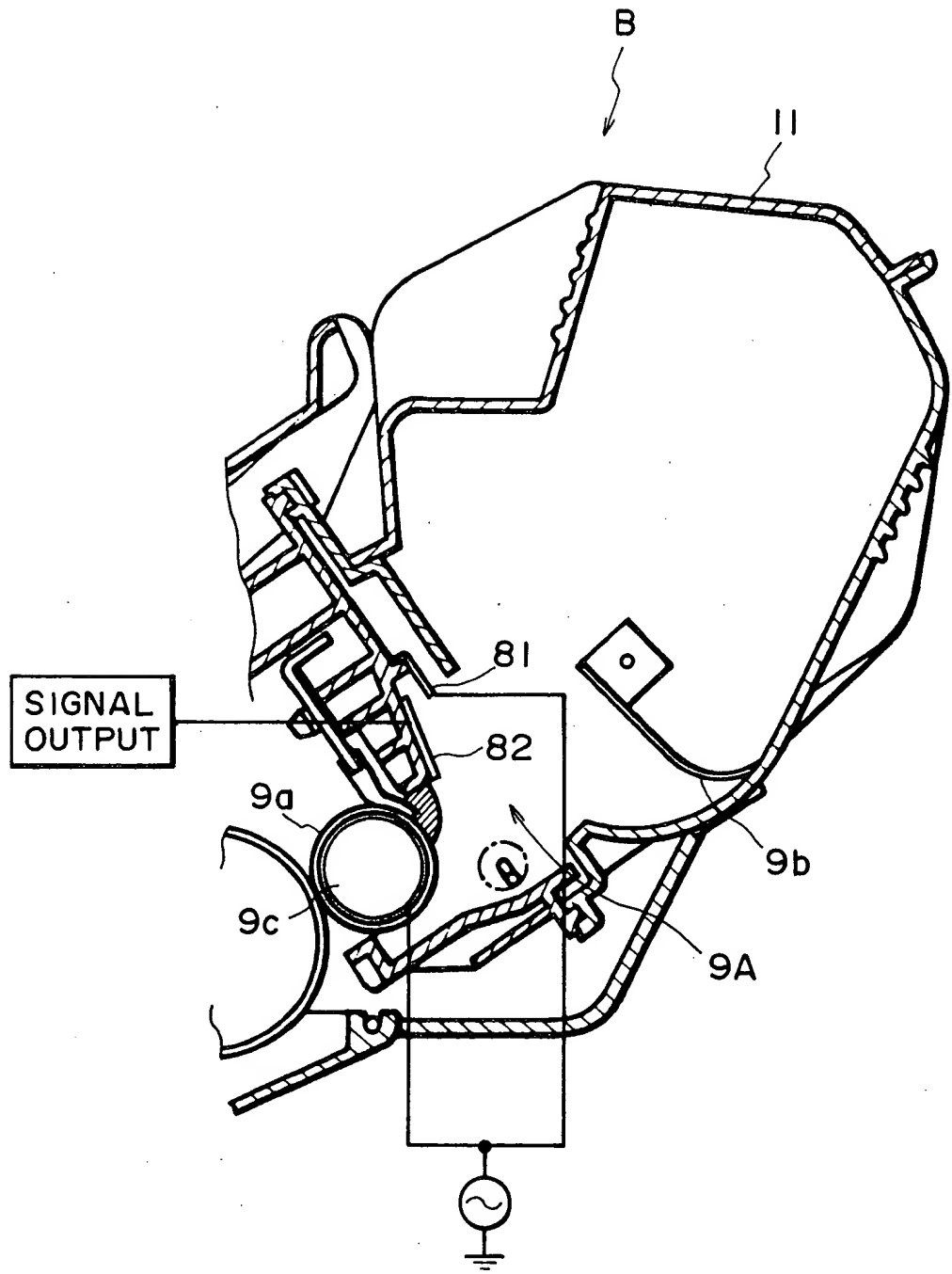


FIG. 16

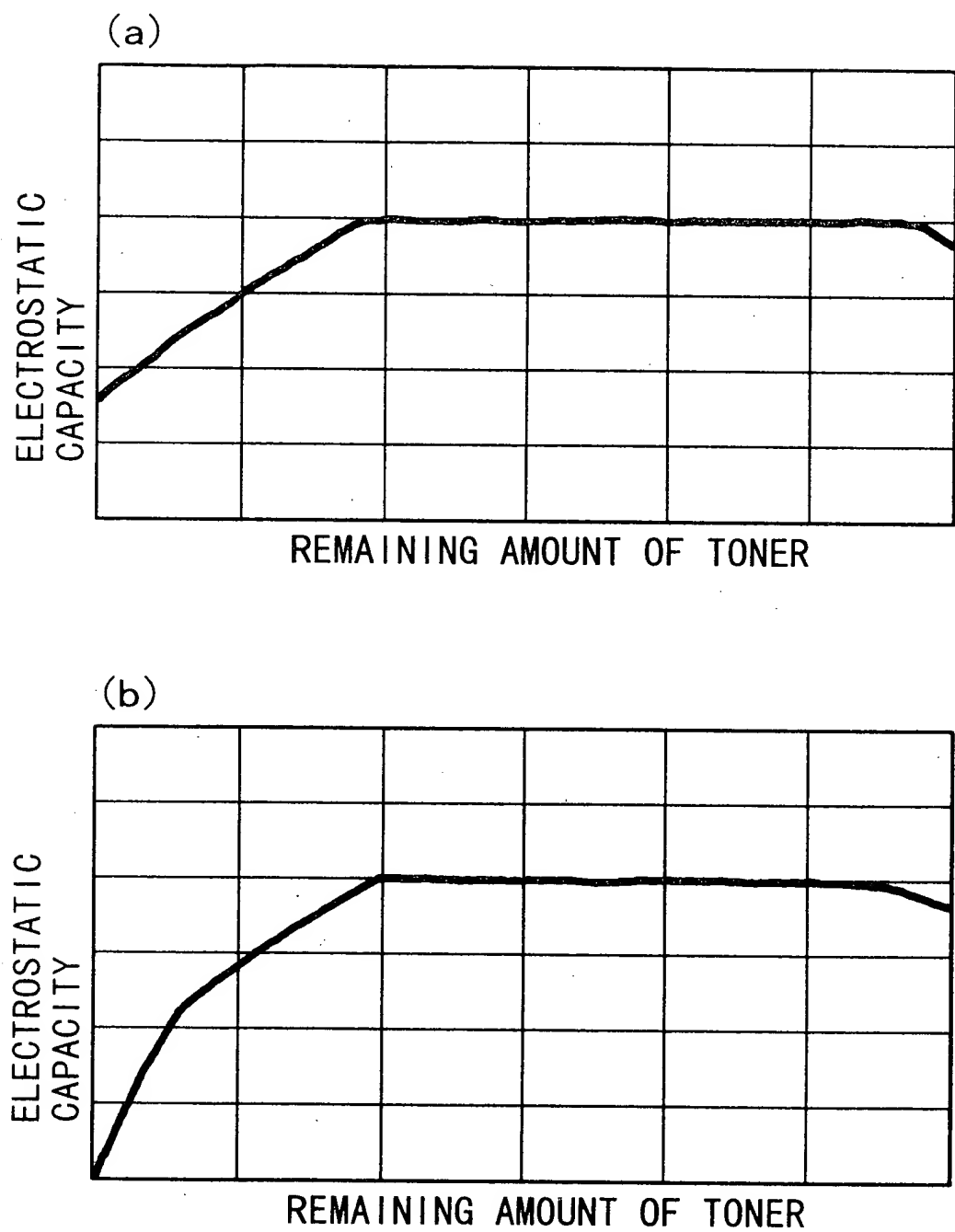


FIG. 17

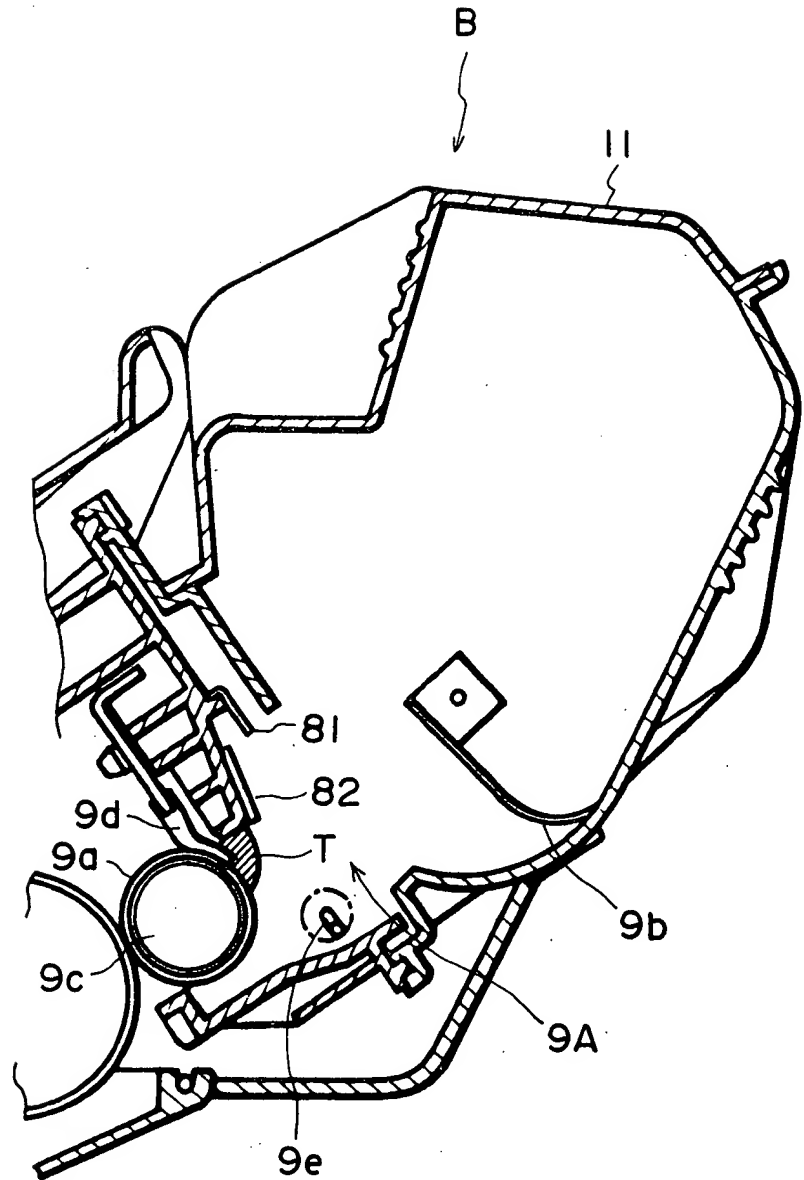


FIG. 18

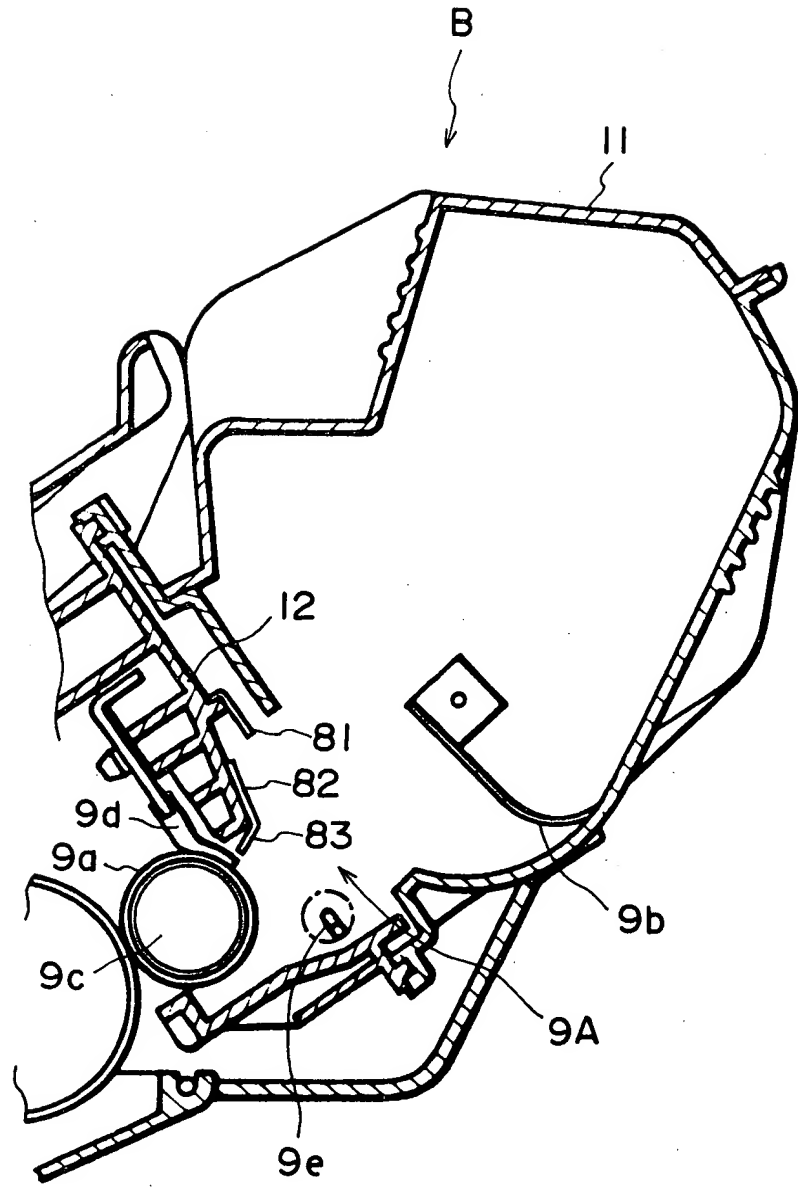


FIG. 19

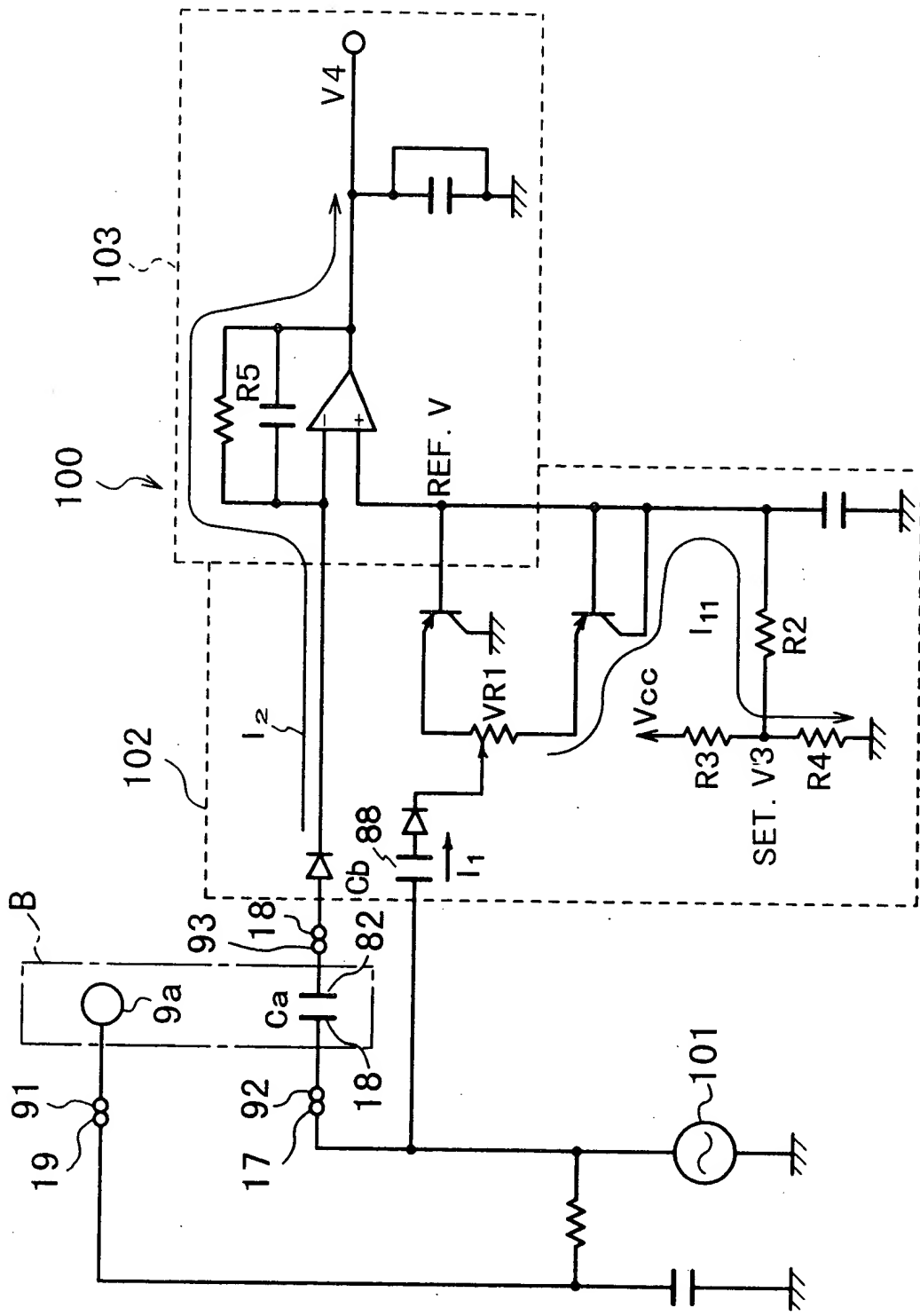


FIG. 20

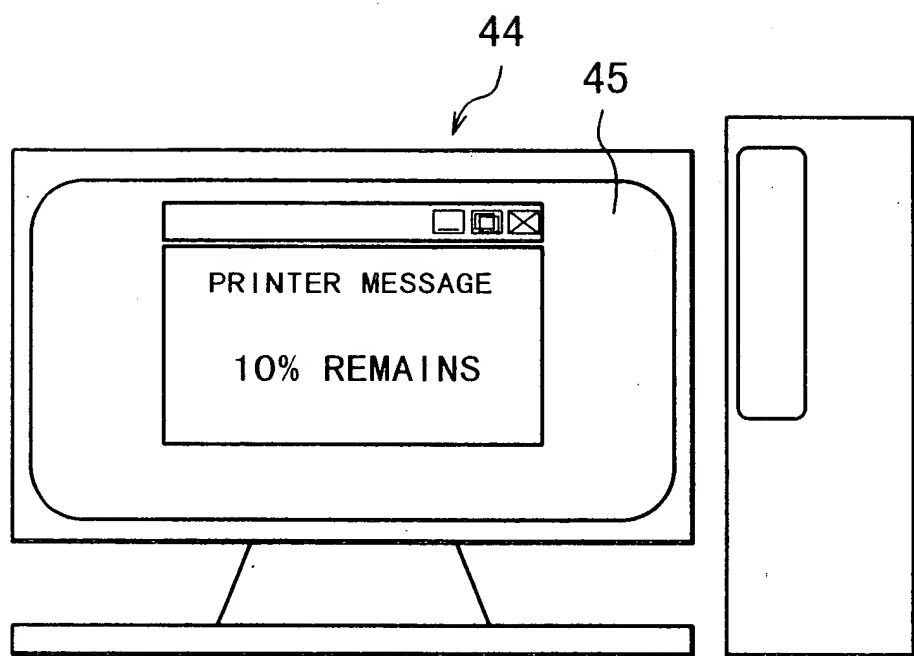


FIG. 21

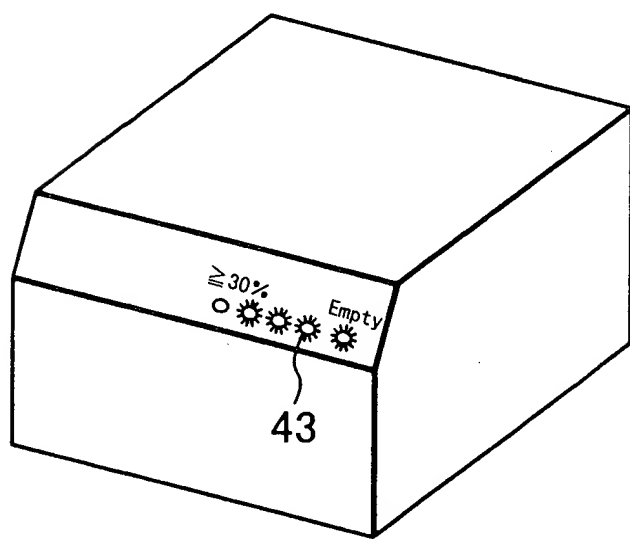
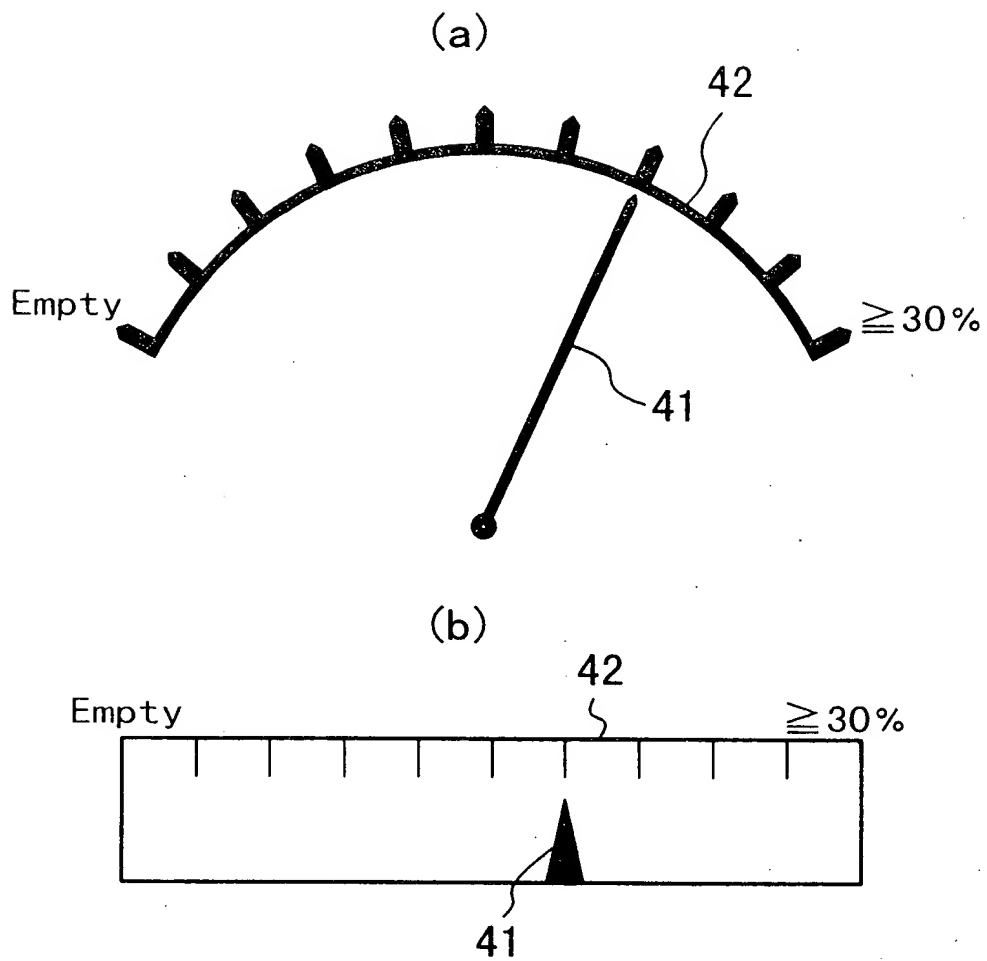
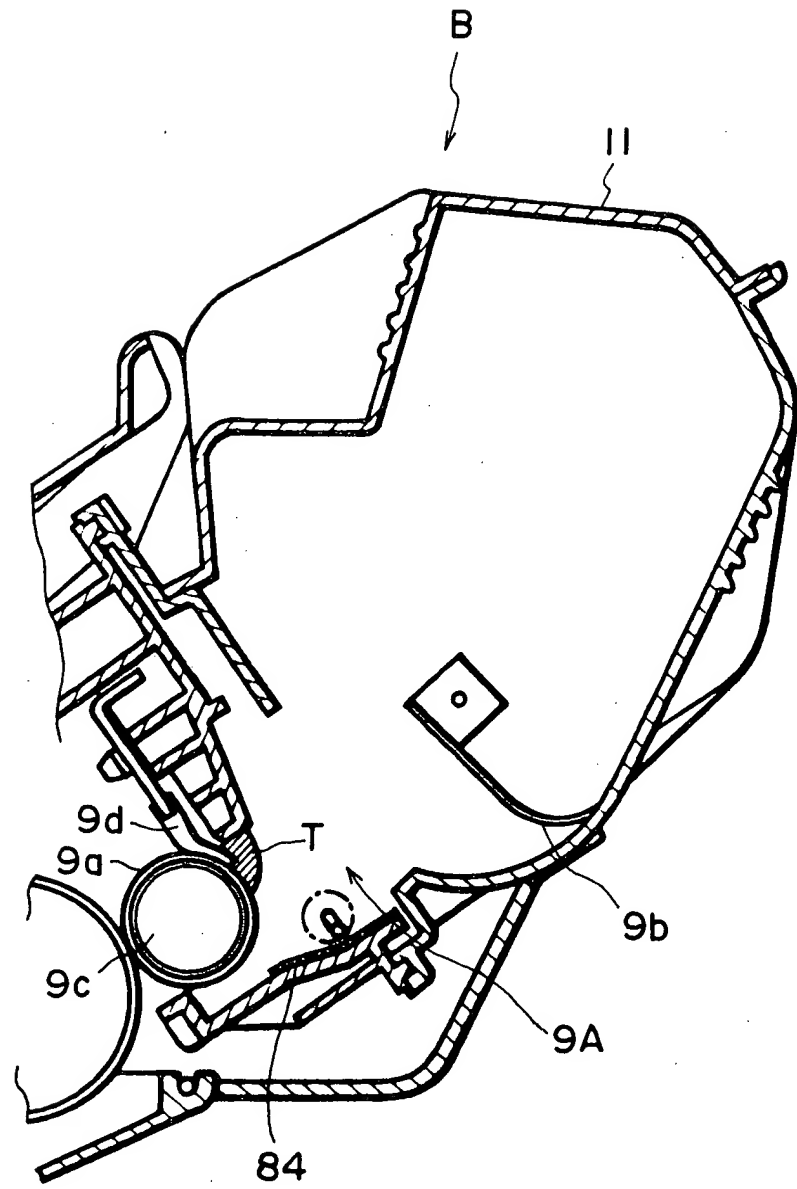
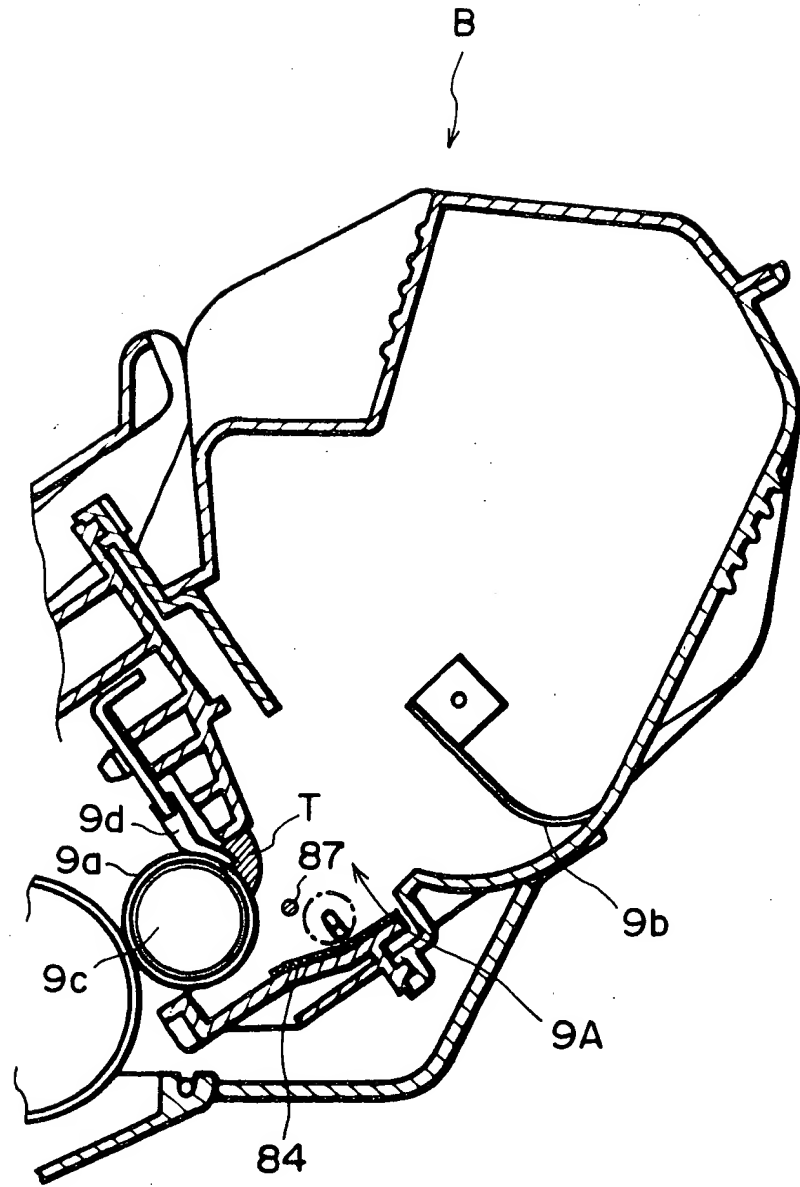


FIG. 23





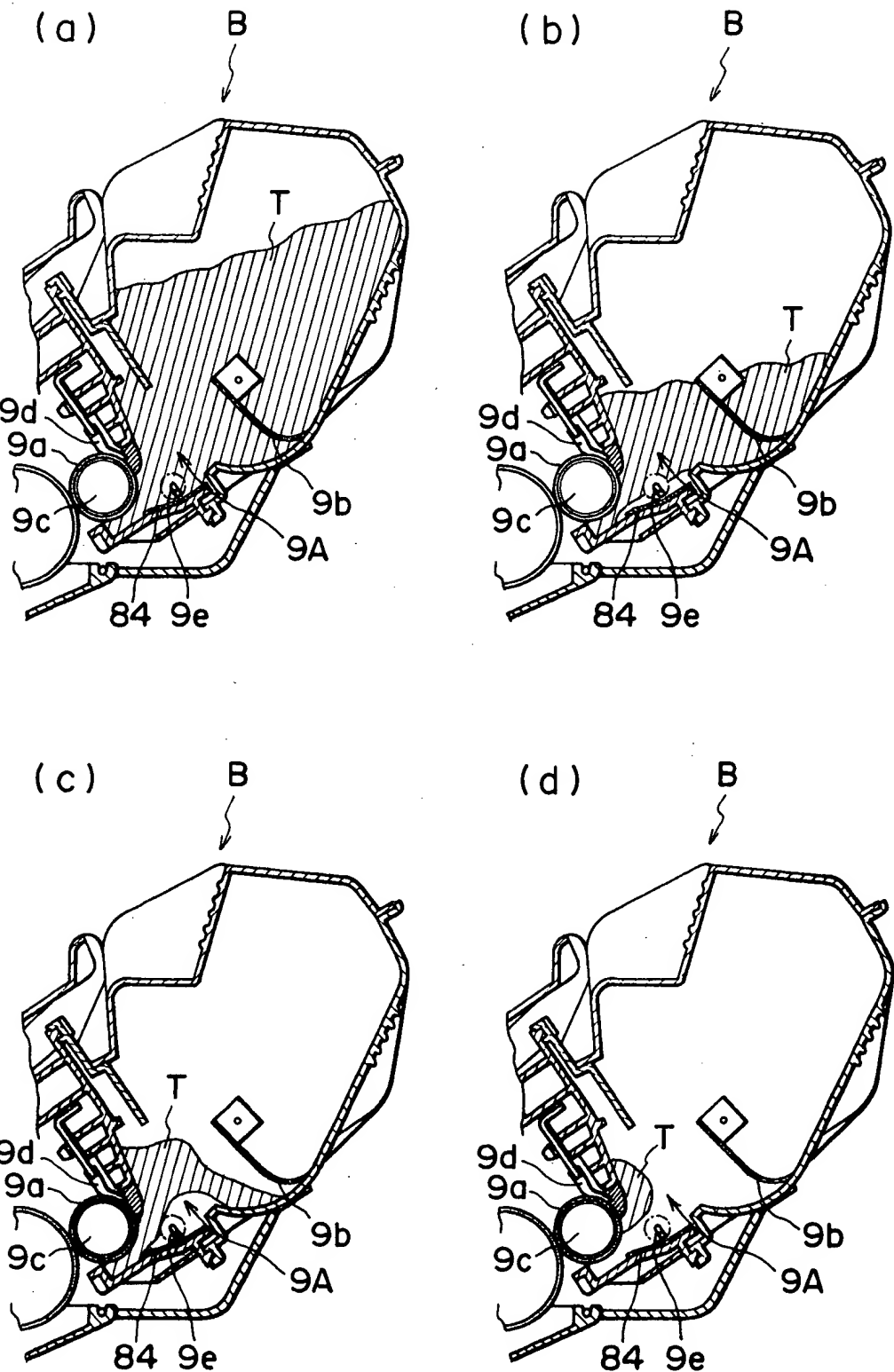


FIG. 26

ELECTROSTATIC
CAPACITY

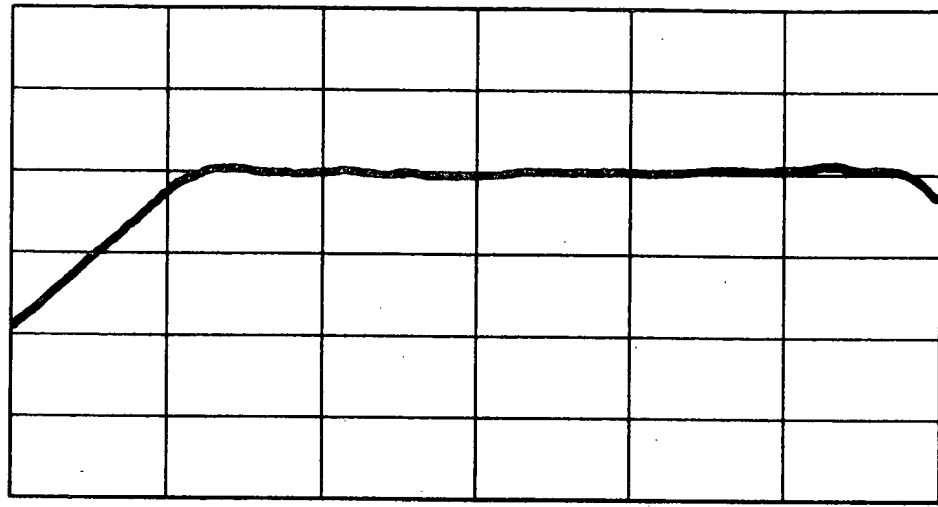


FIG. 27

ELECTROSTATIC
CAPACITY

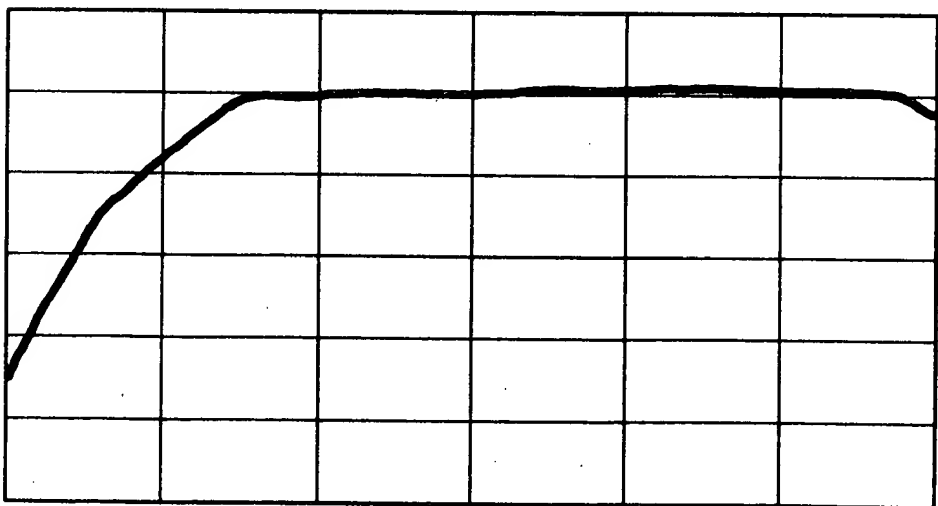


FIG. 28

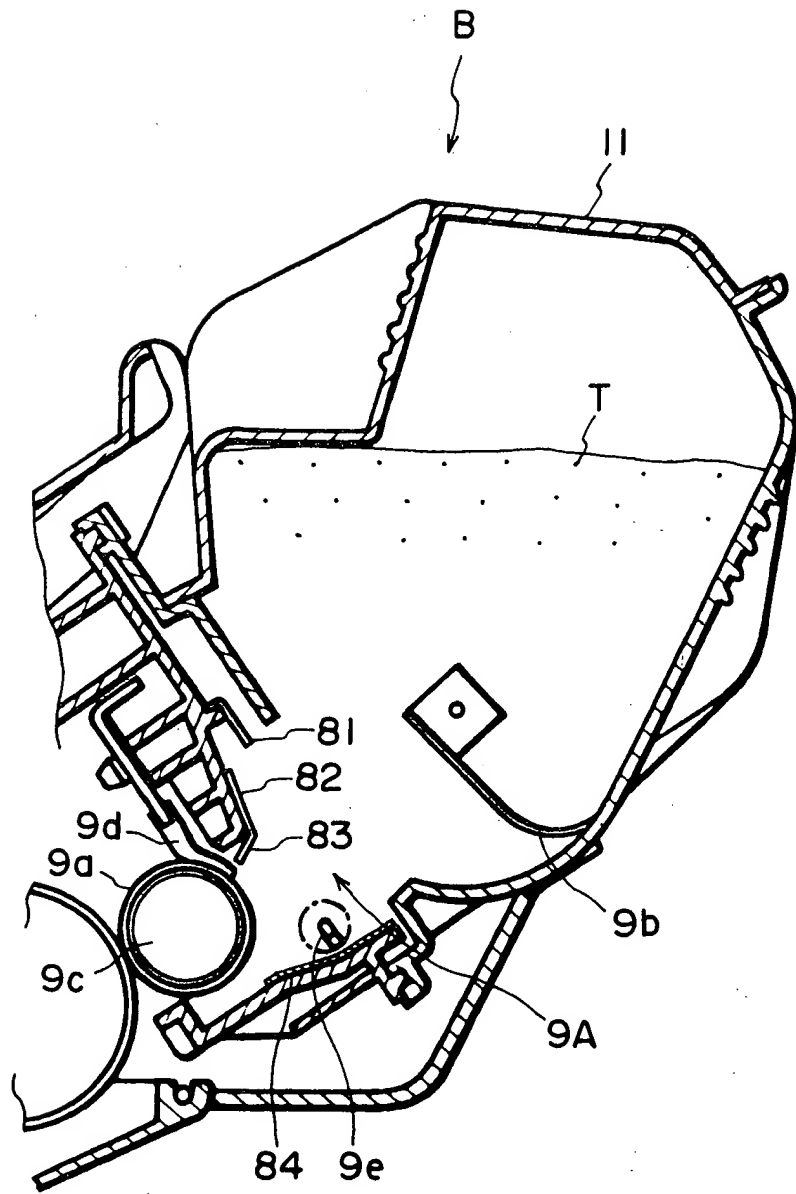


FIG. 29

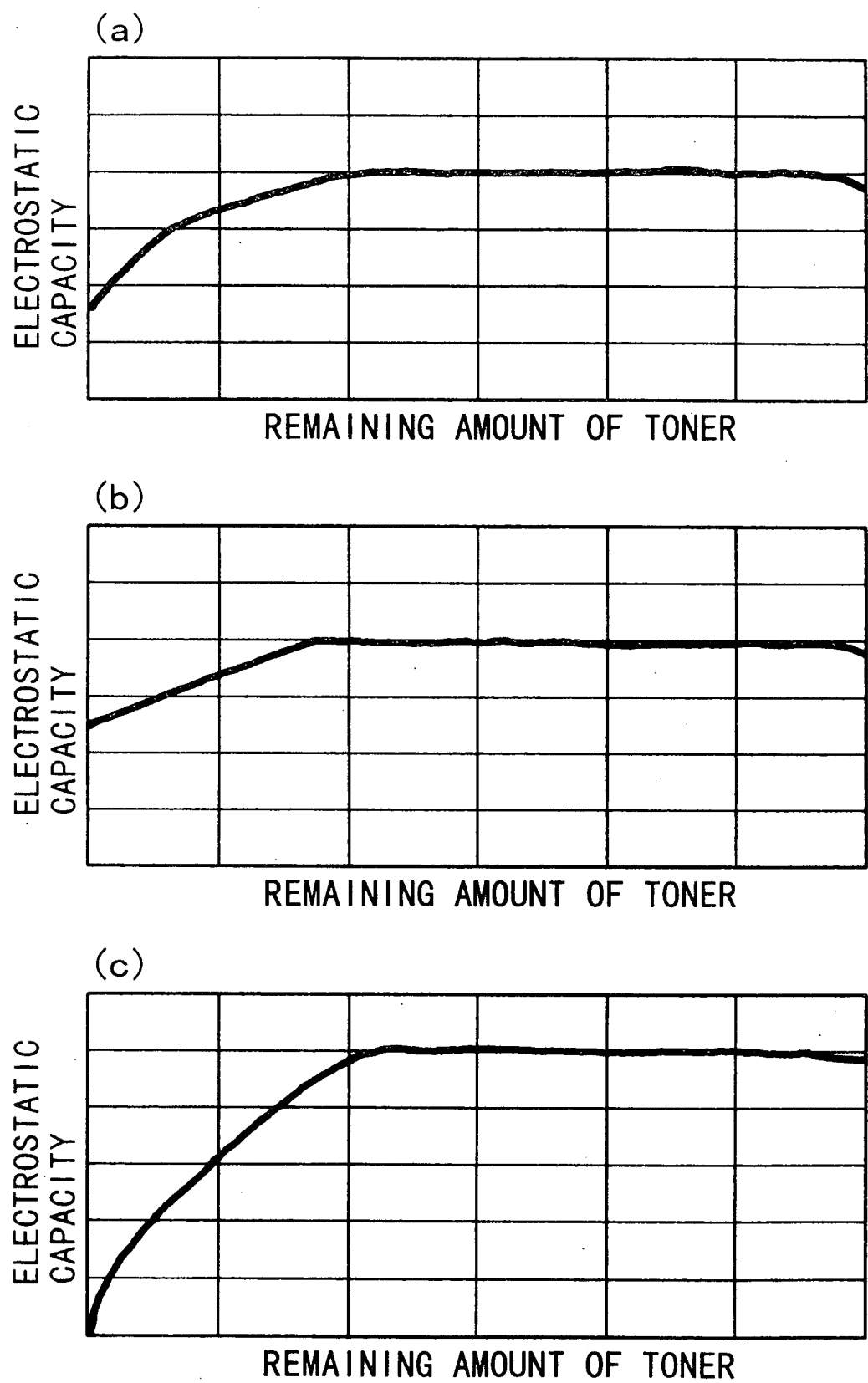


FIG. 30